# Análise de Desempenho Paralelo de Modelos de Difusão de Contaminantes em Água

## Eduardo Verissimo Faccio, Pedro Figueiredo Dias, Pedro Henrique de Oliveira Masteguin

<sup>1</sup>Instituto de Ciência e Tecnologia – Universidade Federal de São Paulo (UNIFESP) São José dos Campos – SP – Brasil

{verissimo.eduardo,pedro.figueiredo,p.masteguin}@unifesp.br

## 1. Introdução

A contaminação de corpos d'água, tais como lagos e rios, é um grande desafio ao meio ambiente e a saúde pública, sendo preciso entender a dispersão do contaminante no ambiente para poder realizar qualquer intervenção de mitigação. Dessa forma, este trabalho foca na modelagem numérica da difusão de poluentes em uma matriz bidimensional, utilizando o método de diferenças finitas para aproximar a equação de difusão discreta:

$$C_{i,j}^{t+1} = C_{i,j}^t + D \cdot \Delta t \cdot \left( \frac{C_{i+1,j}^t + C_{i-1,j}^t + C_{i,j+1}^t + C_{i,j-1}^t - 4 \cdot C_{i,j}^t}{\Delta x^2} \right)$$
(1)

Nesta equação,  $C_{i,j}^t$  representa a concentração do contaminante na célula (i,j) no instante  $t,\,D$  é o coeficiente de difusão,  $\Delta t$  o intervalo de tempo discreto e  $\Delta x$  o espaçamento espacial. O objetivo principal é desenvolver uma simulação que modele a difusão de contaminantes aplicando programação paralela para acelerar os cálculos e analisar o comportamento dos poluentes ao longo do tempo. Serão comparadas as versões sequencial e paralela do algoritmo, utilizando OpenMP, CUDA e MPI para explorar o processamento simultâneo em múltiplos núcleos e dispositivos. Os resultados serão validados por meio de mapas de calor, gráficos de speedup e eficiência, além da comparação das matrizes geradas. Este estudo demonstra como técnicas de programação concorrente e distribuída podem otimizar simulações numéricas complexas, reforçando os conceitos aprendidos na disciplina e demonstrando sua aplicação prática no desenvolvimento de soluções eficientes.

## 2. Implementação do Algorítimo

### 2.1. Código Sequencial

O código sequencial implementa a solução numérica da equação de difusão usando uma abordagem serial. Utilizando-se do método de diferenças finitas, é simulado a dispersão de uma substância em uma matriz bidimensional. Cada célula da matriz representa a concentração de uma substância em um ponto do espaço.

O cálculo é realizado em um laço de repetição que itera sobre todas as células da matriz. A atualização de cada célula depende da média das concentrações dos seus vizinhos imediatos e de parâmetros físicos como coeficiente de difusão, o intervalo de tempo  $\Delta t$  e o espaçamento espacial  $\Delta x$ .

## 2.2. Código Paralelo em CUDA

O código paralelo em CUDA implementa uma versão otimizada do algorítimo de difusão, explorando a capacidade de paralelização massiva das GPUs. A CUDA (Compute Unified Device Architecture) permite distribuir o cálculo de atualização das células da matriz de concentração entre milhares de threads executadas simultaneamente. Cada thread é atribuída a uma célula específica da matriz, realizando cálculos independentes e simultâneos para atualizar os valores conforme o método de diferenças finitas.

O kernel diffusion\_kernel é responsável por realizar o cálculo da nova concentração de cada célula com base nos valores dos seus vizinhos imediatos. Esse kernel é executado pór uma grade (grid) de blocos de threads, cujas dimensões são configuráveis para melhor aproveitamento dos recursos da GPU. A utilização de memória compartilhada (\_\_shared\_\_) permite acelerar a soma das diferenças das concentrações, essencial para verificar a convergência do algorítimo.

O fluxo de execução consiste nas seguintes etapas:

- Inicialização (cuda\_init): Aloca memória na GPU e transfere os dados iniciais da CPU para a GPU.
- Execução do kernel (cuda\_diff\_eq): O kernel é executado, atualizando os valores da matriz e calculando a diferença média entre as iterações.
- Recuperação de Dados (cuda\_get\_result): Transfere os resultados da GPU de volta para a CPU.
- Finalização (cuda\_finalize): Libera a memória alocada na GPU.

A configuração das dimensões dos blocos de threads pode ser ajustada através da função set\_block\_dimensions, permitindo experimentar diferentes granularidades de paralelismo. Esse ajuste é fundamental para otimizar o desempenho, equilibrando a carga de trabalho entre os multiprocessadores da GPU.

#### 2.3. Interface Python e ferramenta CMake

Assim como na implementação em OpenMP, o projeto utiliza o CMake para a compilação do código CUDA, facilitando a definição de dependências e o processo de build. A integração com Python é realizada utilizando o módulo ctypes, que permite o carregamento dinâmico da biblioteca CUDA compilada e a chamada de suas funções diretamente em Python.

A classe CUDADiffusionEquation implementa a interface Python para a solução da equação de difusão. Essa classe gerencia a inicialização da GPU, a execução dos kernels CUDA e a liberação de recursos, garantindo uma execução eficiente e segura. A interface permite configurar parâmetros como o tamanho da matriz, coeficiente de difusão e as dimensões dos blocos de threads.

Com essa integração, é possível comparar diretamente o desempenho entre as implementações sequencial, OpenMP e CUDA, aproveitando a flexibilidade do Python para realizar análises e visualizações dos resultados.

#### 3. Resultados

Nesta seção, apresentamos os resultados obtidos de nossa implementação. Inicialmente, analisamos a equivalência lógica entre os códigos sequencial e paralelo, considerando

possíveis erros que podem surgir na paralelização, como condições de corrida ou inconsistências de sincronização. Em seguida, ilustramos, por meio de mapas de calor, a atualização dos valores da matriz ao longo do tempo. Por fim, realizamos uma análise comparativa dos tempos médios de execução, *speedup* e eficiência entre as duas versões.

#### 3.1. Validação da Implementação

Para assegurar a correção das duas implementações, verificamos em cada iteração se os valores presentes em cada célula da matriz são idênticos. Dessa forma, o resultado na última iteração deve ser o mesmo em ambas as versões.

Por meio desse procedimento, utilizando a interface Python em conjunto com um Jupyter Notebook, comprovamos que as duas soluções produzem resultados idênticos. Isso era esperado, pois no código paralelo não ocorrem condições de corrida, uma vez que a escrita não é realizada na mesma região de memória das leituras, tornando o processamento de cada célula pelas *threads* independente.

## 3.2. Validação da Implementação

Para ilustrar o funcionamento da implementação, foram gerados mapas de calor, representado pela Figura 1, nos quais cada ponto de uma matriz 50x50 é representado por uma cor distinta. Cores escuras correspondem a valores próximos de um, indicando alta concentração do contaminante, enquanto cores claras representam valores próximos de zero, indicando baixa presença de contaminação.

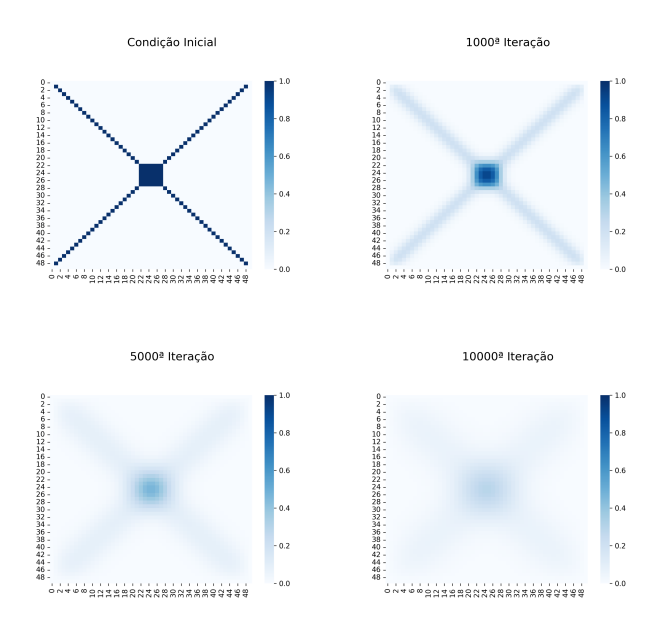


Figura 1. Mapa de calor em quatro instantes distintos da simulação.

Analisando a progressão dos mapas de calor, observamos que o comportamento faz sentido no contexto da solução proposta. Inicialmente, o contaminante é adicionado com alta concentração nas diagonais e no centro da matriz, evidenciado pelas regiões azuis escuros. Com o avanço das iterações, o contaminante começa a se difundir para

as regiões adjacentes, aumentando gradativamente a luminosidade nessas áreas e diminuindo nos pontos de concentração inicial. Na última iteração, a concentração se distribui uniformemente pela matriz, com valores próximos entre si.

## 3.3. Análise de Desempenho

A análise de desempenho foi realizada em um computador *desktop* com as especificações apresentadas na Tabela 1. Ademais, as especificações dos parâmetros do problema foram incluídas na Tabela 2.

Tabela 1. Tabela de especificação de Hardware

Especificações	Detalhes		
Processador	Intel i7–4790 @ 3.60GHz		
Núcleos / Lógicos	4 / 8		
Memória RAM	8 GB		
Sistema Operacional	Ubuntu 22.04.05 (via WSL)		

Tabela 2. Tabela de especificação da Simulação

Especificações	Detalhes	
Dimensão da Matriz (N x N)	2000 x 2000	
Número de Iterações	500	
Distribuição Inicial	Alta concentração no centro	
Coeficiente de Difusão	0.1	
$\Delta t$	0.01	
$\Delta x$	1.0	

Para obter valores mais consistentes e minimizar influências externas, como outros programas em execução, cada teste foi executado quinze vezes e, assim, calculamos o tempo médio gasto e seu desvio padrão. O *speedup* é calculado dividindo-se o tempo de execução sequencial pelo tempo de execução paralelo correspondente, enquanto a eficiência é determinada ao dividir o *speedup* pelo número de *threads* utilizados.

Tabela 3. Tabela de comparação de desempenho entre o código sequencial e o paralelo utilizando OpenMP.

N° Threads	Tempo	Speedup	Eficiência
1	$26.22 \pm 2.09$	1.0	100%
2	$14.59 \pm 1.49$	1.80	89,88%
4	$10.60 \pm 1.43$	2.47	61.82%
8	$8.52 \pm 1.32$	3.08	38.48%
16	$8.29 \pm 1.29$	3.16	19.77%
32	$8.67 \pm 1.43$	3.03	9.45%

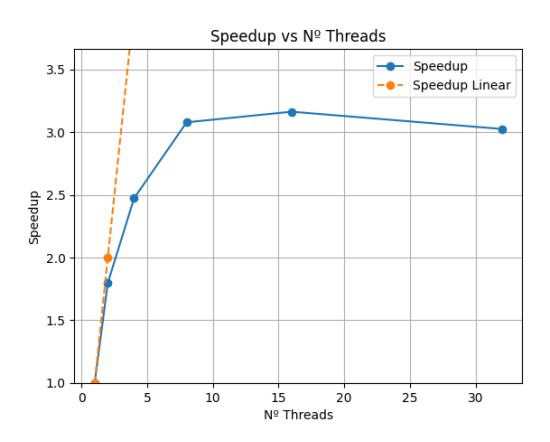


Figura 2. Gráfico do speedup por número de threads

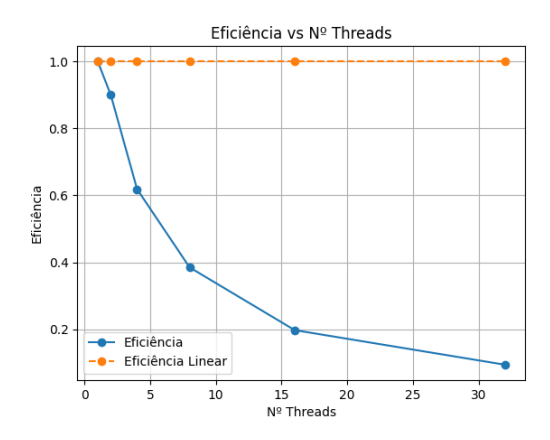


Figura 3. Gráfico da eficiência por número de threads

O gráfico de *speedup* (Figura 2) mostra uma tendência de estabilização em torno do valor três, enquanto o *speedup* linear ideal apresenta valores significativamente maiores, o que pode sugerir que a escalabilidade da aplicação é limitada, possivelmente devido a *overheads* de sincronização ou ao fato de que o problema não é suficientemente grande para aproveitar eficientemente um número maior de *threads*. Além disso, o desempenho pode estar sendo afetado pela latência de memória ou pela arquitetura do processador utilizado e, consequentemente, não há grandes vantagens em utilizar um número elevado de *threads* para resolver este problema específico.

#### 4. Conclusão

Por meio de implementações sequenciais e paralelas utilizando OpenMP, foi validada a correção dos resultados e analisou-se o impacto do paralelismo no tempo de execução. Os resultados obtidos mostraram que, embora o paralelismo traga ganhos significativos em relação ao código sequencial, há limitações na escalabilidade, possivelmente devido a fatores como *overheads* de sincronização e restrições arquiteturais do hardware utilizado. Assim, este trabalho reforça os conceitos fundamentais aprendidos em programação concorrente e distribuída, evidenciando as vantagens práticas da paralelização em termos de desempenho e eficiência em simulações numéricas.

## Referências

Crank, J. (1979). *The Mathematics of Diffusion*. Oxford science publications. Clarendon Press.

Rauber, T. and Runger, G. (2013). Parallel Programming. Springer.